

## مورفولوژی و مورفومتری انواع دهانه‌های آتشفسانی در مخروط آتشفسانی سهند

صیاد اصغری سراسکانرود - استادیار ژئومورفولوژی، دانشگاه ارومیه  
وحید محمدنژاد آروق\* - استادیار ژئومورفولوژی، دانشگاه ارومیه  
مهدی بلواسی - کارشناس ارشد سنجش از دور، دانشگاه تبریز

تأیید نهایی: ۱۳۹۳/۰۷/۱۰ پذیرش مقاله: ۱۳۹۲/۰۷/۱۷

### چکیده

مطالعات مورفولوژیکی و مورفومتریکی مخروط‌های آتشفسانی، ابزار بسیار مناسبی برای بدست آوردن داده‌های نسبی از ویژگی‌های مخروط‌ها می‌باشد. این تحقیق در پی آن است که با شناسایی انواع دهانه‌های آتشفسانی مخروط سهند، عوامل مؤثر بر ایجاد اشکال متفاوت دهانه‌های آتشفسانی را مورد بررسی قرار دهد. جهت رسیدن به این هدف، از تصاویر ماهواره‌ای لندست، تصاویر ماهواره اسپیت (نرم‌افزار Google earth) و تصاویر SRTM استفاده شده است. همچنین جهت بررسی شرایط زمین‌شناسی، تکتونیکی و سنگ‌شناسی نیز از نقشه‌های زمین‌شناسی با مقیاس ۱:۱۰۰۰۰۰ استفاده شد. سپس با ایجاد یک مدل تحلیلی ارتباط لایه‌های مختلف با مورفومتری دهانه‌های آتشفسانی تحلیل گردید و دهانه‌های موجود در کوهستان سهند به دهانه‌های دایره‌ای، متغیر، شکافدار و کشیده طبقه بندی گردید. نتایج نشان می‌دهد که گسل‌ها و فراوانی آنها بر روی شکل دهانه‌ها تأثیر گذاشته است. با وجود همگنی تقریبی هر چهار نوع دهانه از لحاظ سنگ‌شناسی، می‌توان نتیجه گرفت که خطوط گسلی در به هم زدن شکل دهانه‌ها مؤثر واقع شده‌اند. به این صورت که جایی که تعداد گسل بیشتری داشته، شکل دهانه از حالت ایدآل دایره‌ای خارج شده و به اشکال مختلف درآمده است. سنگ‌شناسی غالب در دهانه‌ها در سهند بیشتر سنگ‌های آندزیت تا داسیت است و سایر سنگ‌ها با درصد متفاوتی ظاهر شده‌اند. همچنین در ارتباط توپوگرافی و دهانه‌ها، بیشترین ارتفاع میانگین ۸۷/۶۰ متر مربوط به دهانه‌های شکافدار و کمترین ارتفاع میانگین، ۴۰/۱۲ متر، مربوط به دهانه‌های دایره‌ای است.

وازگان کلیدی: دهانه‌های آتشفسانی، مورفولوژی و مورفومتری، مدل تحلیلی، توده آتشفسانی سهند.

## مقدمه

ایران در کمربند چین خورده آلپ-هیمالیا و در یک ناحیه فشارشی ناشی از همگرایی دو صفحه عربی و اوراسیا قرار دارد. همگرایی این دو صفحه، سبب دگرشکلی ناحیه‌ای پوسته قاره‌ای به مساحت تقریبی ۳۰۰۰۰۰ کیلومتر مربع شده است (آلن و همکاران، ۲۰۰۴: ۱). منطقه آذربایجان به عنوان بخشی از نوار ماقمایی البرز باختری - آذربایجان، در شمال باختر ایران و در زون برخوردی میان صفحه عربی- اوراسیا قرار دارد. پس از برخورد دو صفحه عربی و اوراسیا و رخداد سبرشیدگی پوسته‌ای و بالآمدگی، دور جدیدی از فعالیت‌های آتشفسانی در این منطقه به وقوع پیوسته که احتمالاً سنی در حدود ۱۲ میلیون سال تا ۲/۸ میلیون سال دارد (کسکین و همکاران<sup>۱</sup>: ۱۹۹۸؛ ۳۵۸). ترکیب گدازه‌های سهند از داسیت تا ریوداسیت و ریولیت تغییر می‌کند که داسیت‌ها دارای فراوانی بیشتری می‌باشند (خیام، ۱۳۶۹: ۲۰۵). این سنگ-ها به صورت گنبدهای ولکانیک و انواع دیگر سنگ‌های آتشفسانی در محدوده شرق دریاچه ارومیه و جنوب تبریز در استان آذربایجان شرقی بروزد دارد. براساس مطالعات انجام شده بر روی سنگ‌های آتشفسانی و آذر آواری سهند (آل کثیر، ۱۳۷۴: ۴۱ و امامی، ۱۳۷۹: ۱۸) مراکز آتشفسانی سهند از میوسن فوقانی تا اواخر پلیستوسن بطور متناوب فعالیت می‌کرده است.

مخروطهای آتشفسانی ساده‌ترین و مشهورترین پدیده‌های آتشفسانی هستند (وود<sup>۲</sup>: ۱۹۸۰؛ ۳۸۸). مخروطهای آتشفسانی جزء پدیده‌های زمین‌شناختی هستند که در رابطه با نحوه تشکیل، محدوده و فرایندهای فرسایشی مؤثر بر تخریب و صاف‌شدگی آنها داده‌های کافی وجود دارد. اشکال آتشفسانی همچون مخروطهای آتشفسانی، فرصت بسیار مناسبی را برای پایش فرایندهایی پدید می‌آورد که باعث تغییر و تحول چهره نواحی آتشفسانی را شده‌اند (اینبار و همکاران<sup>۳</sup>: ۲۰۱۱؛ ۳۰۳: ۲۰۱۱). مطالعات مورفولوژیکی و مورفومتریکی مخروطهای آتشفسانی ثابت کرده است که ابزار بسیار مناسبی برای به دست آوردن داده‌های نسبی از ویژگی‌های مخروطها می‌باشد (اینبار و ریسو<sup>۴</sup>: ۲۰۰۱؛ ۳۲۲، پاروت<sup>۵</sup>: ۲۰۰۷؛ ۲۴۸). با استفاده از پارامترهایی همچون ارتفاع، شعاع، شیب و روابط بین این پارامترها، می‌توان ویژگی‌های مورفومتریک این اشکال را بررسی کرد (هوپر و شریدن<sup>۶</sup>: ۱۹۹۸؛ ۲۴۳). تکامل اشکال در طول زمان نقطه تقل مطالعات زمین‌شناسی، دیرینه جغرافیا و ژئومورفولوژی است. مطالعات مورفومتریکی، مورفولوژیکی همراه با فن‌آوری سنجش از دور و روش‌های سن‌یابی، ابزار بسیار خوبی برای درک فرایندها و نحوه شکل‌گیری این اشکال خواهد بود (تورت<sup>۷</sup>: ۱۹۹۹؛ ۹۵ و اینبار و همکاران، ۲۰۱۱؛ ۳۰۳: ۲۰۱۱).

محققان مختلفی، مورفولوژی و مورفومتری مخروطهای آتشفسانی را مورد بررسی قرار داده‌اند که از آن جمله می-توان به پروتر<sup>۸</sup> (۱۹۷۲؛ ۳۶۰۷) مورفولوژی و ویژگی‌های مورفومتریک مخروط آتشفسان مائوناکی<sup>۹</sup> در هاوایی را مورد مطالعه قرار داد در این مطالعه اندازه مخروطهای آتشفسانی مورد بررسی قرار گرفت. وود (۱۹۸۰؛ ۱۳۷: b) در مطالعه مورفومتری مخروطهای آتشفسانی از شاخص‌های ارتفاع مخروط، پهنای مخروط، نسبت بین ارتفاع به پهنای مخروط و زاویه شیب را استفاده کرد، این محقق خاطر نشان کرد که فاکتورهای ذکر شده از مهم‌ترین شاخص‌ها برای مطالعه

1 Keskin *et al*

2 Wood

3 Inbar *et al*

4 Inbar and risso

5 Parrot

6 Hooper and Sheridan

7 Thouret

8 Porter

9Mauna Kea

مخروط آتشفسانی جهت بررسی میزان تکامل مخروط می‌باشد. هاسانکا و کارمیچیل<sup>۱</sup> (۱۹۸۵: ۱۰۴) مخروطهای آتشفسانی مکزیکو شمالي را مورد بررسی قرار دادند در این تحقیق سن مخروطها، حجم، توزیع فضایی و میزان خروج ماقمای مخروط‌ها مورد بررسی قرار گرفت، این محققین تأکید کردند که مطالعه مخروطهای آتشفسانی ابزار بسیار سودمندی برای شناسایی ویژگی‌های مورفولوژیکی نواحی آتشفسانی خواهد بود. هوپر<sup>۲</sup> (۱۹۹۵: ۳۲۱)، یک مدل کامپیوتری برای شبیه سازی میزان تخریب مخروط‌های آتشفسانی طراحی کرد. اینبار و ریسو (۲۰۰۱: ۳۲۱) مخروط‌های آتشفسانی منطقه پایون ماترو<sup>۳</sup> در جنوب مرکزی آند را مورد مطالعه قرار دادند در این مطالعه با استفاده از شاخص-های مورفومتریکی ویژگی‌های مخروطهای آتشفسانی را بررسی کرده سپس عوامل مؤثر بر میزان تخریب و تکامل شکل مخروط‌ها را تحت تأثیر فاکتورهای اقلیمی و زمین‌شناسی (نوع لیتولوژی) تحلیل کردند. مازارینی و اورازیو<sup>۴</sup> (۲۰۰۳: ۲۹۱) توزیع فضایی مخروطهای آتشفسانی پالی‌ایک<sup>۵</sup> در شمال پاتاگونیا را با استفاده از تصاویر ماهواره‌ای مطالعه کردند، سپس تأثیر تکتونیک بر شکل‌گیری انواع اشکال مخروط‌ها را بررسی کردند. پاروت (۲۰۰۷: ۲۴۷) با استفاده از مدل رقومی ارتفاع (Dem) مستخرج از تصاویر Aster ویژگی‌های مخروطهای آتشفسانی رشته چیچیناتزین<sup>۶</sup> در مرکزیکو را استخراج کرد، سپس براساس فاکتورهای مستخرج مدلی طراحی کرد و میزان تکامل مخروط‌ها را بررسی کرد. و اینبار و همکاران (۲۰۱۱: ۳۰۱) مورفولوژی مخروطهای آتشفسانی تولباجیک<sup>۷</sup> در کاماتکا را بررسی کردند در این تحقیق ژئومورفولوژی مخروط‌ها، ویژگی‌های مورفومتریک دهانه‌های آتشفسانی از جمله ارتفاع، شعاع، شیب، توزیع فضایی، ویژگی‌های زمین‌شناسی و تکتونیکی مخروط‌ها و ارتباط این عوامل با هم دیگر و تغییر و تحول آنها تحت تأثیر فرایندهای فرسایشی و در نهایت تکامل مخروطهای آتشفسانی در دوره کواترنر بررسی شد.

در ایران در ارتباط با مخروطهای آتشفسانی سهند شناسایی و طبقه‌بندی آن‌ها مطالعه کاملی صورت نگرفته است ولی محققین در ضمن مطالعه آتشفسان سهند معمولاً به صورت گذرا به مخروطهای آتشفسانی سهند هم اشاره‌ای داشته‌اند، معمولاً در مطالعه این محققین، پژوهش‌های ژئومورفولوژی و تحول سهند در کواترنر، فوران‌های آتشفسانی و بررسی‌های مورفوکتونیکی سهند، مد نظر بوده که از آن جمله می‌توان به معین وزیری و امین سبحانی (۱۳۵۶: ۵۹) سهند را از نظر ولکانولوژی ولکانوسیدیمان‌تولوژی مورد مطالعه قرار داده اند. آل کشیر، (۱۳۷۴: ۳۳) ضمن مطالعه ژئومورفولوژی دامنه شرقی سهند، به لیتو‌لولوژی مخروط‌های سهند هم اشاره‌ی کرده است. جهانگیری و اشرفی (۱۳۸۴: ۱۲۳) کانی‌شناسی و ژنز واحدهای پیروکلاستیک شرق مجموعه آتشفسانی سهند را مورد مطالعه قرار داده است. خیام (۱۳۶۹: ۲۰۶) تحول مورفولوژیکی سهند و مخروط‌های آتشفسانی سهند را دوره کواترنر مورد مطالعه قرار داده است. غیوری و معین وزیری (۱۳۸۱: ۴۳) چینه شناسی، پتروگرافی و ژئوشیمیایی افق‌های ایگنمبریتی سهند را مورد مطالعه قرار داده اند. و پیر محمدی و همکاران (۱۳۹۰: ۱۷۹) منشاء و محیط زمین‌ساختی سنگ‌های آتشفسانی خاور سهند را مورد مطالعه قرار دادند. رجبی و خطیبی (۱۳۹۰، ۱۱۵) در کتاب ژئومورفولوژی شمال غرب ایران ضمن معرفی توده آتشفسانی سهند، در رابطه با عوامل مؤثر بر شکل‌گیری مخروطهای آتشفسانی سهند هم بحث کرده اند.

این تحقیق در پی آن است که با شناسایی انواع دهانه‌های آتشفسانی مخروط سهند، عوامل مؤثر بر ایجاد اشکال متفاوت دهانه‌های آتشفسانی را مورد بررسی قرار دهد.

1 Hasenka and carmicheal

2 Hooper

3 Payun Matru

4 Mazzarini and Orazio

5 Pali Aike

6 Chichinautzin Range

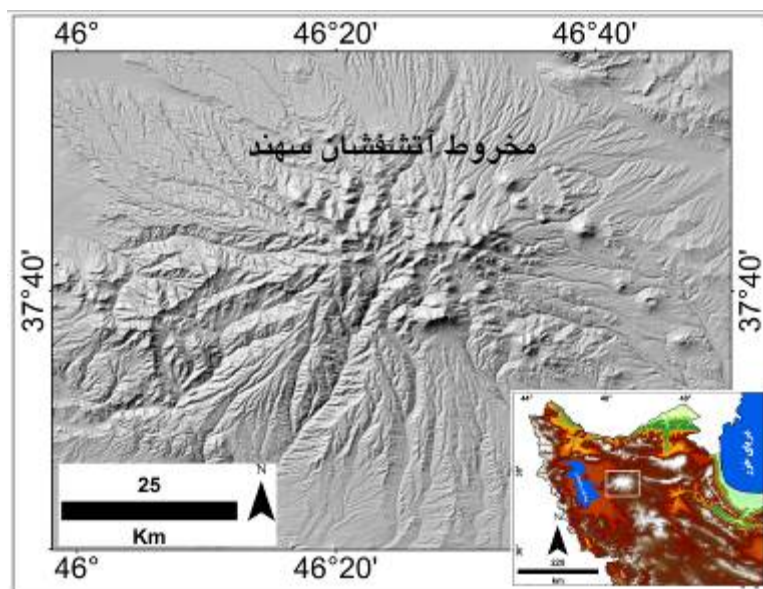
7 Tolbachik

### منطقه مورد مطالعه

توده سهند در شمال غربی ایران با مختصات جغرافیایی  $37^{\circ} 38' \text{ شمالی}$  و  $53^{\circ} 45' \text{ شرقی}$ ، در شرق دریاچه ارومیه واقع شده است (شکل ۱). مساحت زیاد، وجود قلل و دره‌های متعدد، در مقایسه با سایر کوهستان‌های توده‌ای، از ویژگی‌های بارز این کوهستان است این توده کوهستانی مساحتی معادل ۸۰۰۰ کیلومترمربع را در بر می‌گیرد که دارای قله‌های متعددی است که بلندی حدود ۱۷۰۰ متر بیشتر است. چهار قله معرف سهند عبارتند از: قله جام داغی (۳۷۱۰ متر)، قله کمال یا قوج گلی داغی (۳۶۹۷ متر) قله سلطان (۳۳۷۶ متر) و قله سهند (۳۵۶۲ متر) می‌باشد (رجی و خطیبی، ۱۳۹۰: ۱۷). این توده از نظر زمین‌ساختی، بخشی از زون ایران مرکزی است آتشفسان سهند استراتوولکانی است که روی یک سری سنگ‌های آتشفسانی و آذرآوری سیاه رنگ مرکب از آندزیت - بازالت به سن میوسن قرار گرفته و به عبارت دیگر از درون این سنگ‌ها فوران کرده است (اشتوکلین، ۱۹۶۸: ۱۲۳۶). توده سهند در چندین مرحله فعالیت آتشفسانی ساخته شده است. شروع این فعالیت‌ها از اواسط میوسن بوده و خاتمه آن را در ۱۴۰ هزار سال قبل برآورد کرده‌اند. ترکیب گدازه‌های آن بیشتر از نوع داسیت تا آندزیت است و در بین آن‌ها خاکسترها و توف‌های فراوان دیده می‌شود، ضخامت این مواد به حدود ۸۰۰ متر می‌رسد (علائی طالقانی، ۱۳۸۱: ۱۳۸۱).

(۸۲)

گندهای آتشفسانی موجود در این منطقه، همگی واحدهای رسوبی سازند سرخ بالایی را قطع کرده و سبب خردشده‌گی سنگ‌های مجاور شده‌اند. این مجموعه آتشفسانی توسط رسوبات جوان‌تر آبرفتی و اپی کلاستیک به سن پلیوسن، پوشیده شده‌اند. آرایش خطی گندهای آتشفسانی سهند و ارتباط آن با سایر مجموعه‌های آتشفسانی در آذربایجان، نشان می‌دهد که فوران‌های آتشفسانی، شکافی بوده و در اثر حرکت گسل‌های امتداد لغز و از محل برخورد گسل‌های متقاطع با روندهای NW-SE و NE-SW صورت گرفته است، از نظر نحوه پراکندگی نظام معینی در دهانه‌های آتشفسانی مشهود نیست. با این وجود در بررسی کلی، امتداد تقریبی این دهانه‌ها، شمال غربی - جنوب شرقی است و در نتیجه ارتباط بین گسل‌های موجود و پدیده‌های ولکانیکی مشخص می‌گردد (رسولی، ۱۳۶۷: ۴۲).



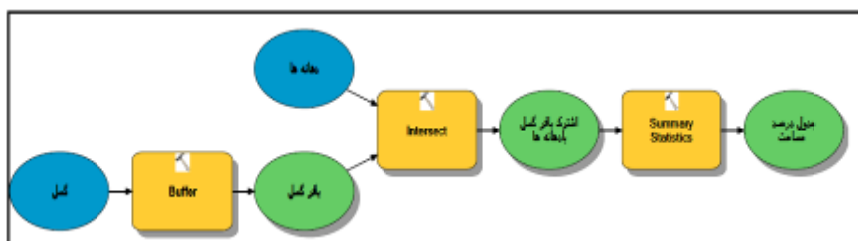
شکل ۱: موقعیت منطقه مورد مطالعه

## مواد و روش‌ها

روش اصلی در بررسی انواع دهانه‌های آتشفسانی سهند، روش دورسنجی است. در تحقیق حاضر از تصاویر ماهواره‌ای لندست (SRTM+) و تصاویر (ETM+) استفاده گردید. به منظور انجام تحقیق حاضر ابتدا تصاویر با استفاده از نقشه‌های ۱:۱۰۰۰۰۰ پنج شهرستان بستان‌آباد، هشت‌رود، اسکو، آذرشهر و مراغه که منطقه مورد مطالعه را در بر می‌گیرند، زمین‌مرجع<sup>۱</sup> شدند و بازنویسی<sup>۲</sup> آن‌ها با استفاده از روش نزدیک‌ترین همسایه<sup>۳</sup> در نرم‌افزار ERDAS صورت گرفت. جهت بررسی شرایط زمین‌شناسی، تکتونیکی و سنگ‌شناسی نقشه‌های زمین‌شناسی، نقشه‌های توپوگرافی، نقشه گسل‌های منطقه با مقیاس ۱:۱۰۰۰۰۰ اسکن نموده و سپس با استفاده نرم‌افزار ArcGIS زمین‌مرجع و سپس رقومی<sup>۴</sup> گردید. در مرحله بعد به منظور درک فضایی ارتباط گسل‌ها با انواع دهانه‌ها از توابع خط در پلیگون<sup>۵</sup> که در نرم‌افزار ArcGIS موجود می‌باشد، استفاده گردید. برای یافتن ارتباط بین هر کلاس از دهانه‌های آتشفسانی با ویژگی‌های زمین‌شناسی، توپوگرافی و گسل‌ها، هر لایه به طور جداگانه با سایر لایه‌ها مورد بررسی قرار گرفت. این فرایند به وسیله توابع Model builder واقع در نرم‌افزار ArcGIS، صورت گرفت.

نرم‌افزار Model Builder برای ایجاد، ویرایش و مدیریت مدل‌ها استفاده می‌شود. این نرم‌افزار هم از مدل گردشی و هم مدل توالی پشتیبانی می‌کند که با ابزار Geoprocessing تولید می‌شود. همچنین Model Builder یک زبان برنامه‌نویسی بصری برای ساختن Workflow‌ها (جریانات کاری) به شمار می‌رود. Model Builder ابزار بسیار مفیدی در اجرای جریانات کاری ساده است، با استفاده از Model Builder می‌توان ابزارهای پیشرفته‌ای را جهت توسعه ArcGIS ایجاد نمود. از Model Builder می‌توان به رابط بین نرم‌افزار ArcGIS و دیگر نرم‌افزارها استفاده نمود.

نمونه‌ای از مدل طراحی شده در محیط نرم‌افزار Model Builder جهت شناسایی ارتباط لایه‌های شیب، توپوگرافی، جهت شیب، توبولوژی، گسل و حریم گسل با تیپ دهانه‌های آتشفسانی در شکل ۲ نشان داده شده است.



شکل ۲: مدل‌ساز تحلیلی (تحلیل‌های نگارنده)

در نهایت با بررسی مطالعات انجام شده (کریوان و همکاران<sup>۶</sup>؛ ۲۰۱۲؛ ۵۹؛ ۲۰۱۲؛ کرسزتوری و نمث<sup>۷</sup>؛ ۴۵؛ ۲۰۱۲؛ مارتین و نمث<sup>۸</sup>؛ ۲۰۰۶) و با استفاده از تحلیل‌های مورفومتریکی و مورفولوژیکی، دهانه‌های موجود در کوهستان سهند به چهار گروه زیر طبقه‌بندی شد.

<sup>1</sup> Georeferencing

<sup>2</sup> Resampling

<sup>3</sup> The nearest neighbor method

<sup>4</sup> digitize

<sup>5</sup> Line in polygon

<sup>6</sup> Kervyn et al

<sup>7</sup> Keresztri and Németh

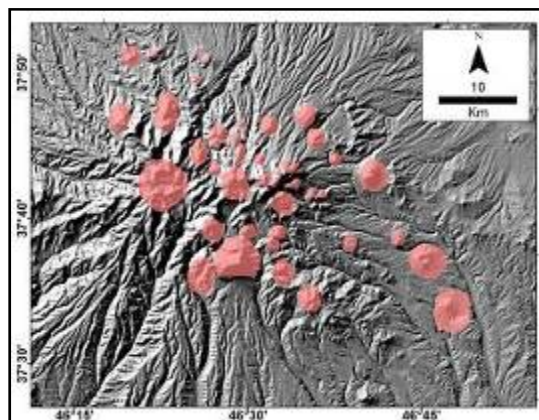
<sup>8</sup> Martin and Németh

Elongate (B)  
((Variable) D

(Circular) A  
(Fissure) C

### بحث و یافته‌ها ارتباط دهانه‌های آتشفسانی با توپوگرافی

ویژگی قابل توجه در خصوص آتشفسان بزرگ سهند وجود مخروط‌های فرعی یا ثانوی است<sup>۱</sup>. در واقع، زمانی که مخروط آتشفسان اصلی خیلی مرتفع شود فشارهای زیادی برای بالا آمدن لاوا رسیدن آن به دهانه قله لازم است. در این صورت لاوا مسیر آسان‌تری را نسبت به سطح زمین پیدا کرده و در سطح پایین‌تری یعنی در دامنه‌های آتشفسان اصلی بیرون‌ریزی خواهد کرد. معمولاً اینگونه بیرون‌ریزی زود مسدود شده و در انفجار بعدی مجاري جدیدی ایجاد می‌شود. بدین ترتیب در یک آتشفسان بزرگ، مخروط‌های فرعی کوچک زیادی در دامنه‌ها ایجاد می‌شود (رجی و خطیبی، ۱۳۹۰: ۱۱۶ به نقل از اولییر، ۱۹۸۸) ارتباط بین توپوگرافی و دهانه‌های آتشفسانی در شکل ۳ نشان داده شده است. نتایج حاصل از بررسی دهانه‌های آتشفسان سهند و ارتباط آن‌ها با توپوگرافی کوهستان، در جدول شماره ۱ نشان داده شده است. در این جدول نوع دهانه‌ها و همچنین ویژگی‌های ارتفاعی آن‌ها مشخص و کلاس‌بندی شده است. با توجه به این جدول، میانگین بیشترین ارتفاع، ۳۰۶۰/۸۷ متر، مربوط به دهانه‌های شکاف‌دار و میانگین کمترین ارتفاع، ۲۴۱۲/۴۰ متر، مربوط به دهانه‌های دایره‌ای است.



شکل ۳: توپوگرافی دهانه‌های آتشفسانی سهند

جدول ۱: ویژگی‌های ارتفاعی دهانه‌های سهند (محاسبات نگارندگان)

نوع دهانه	حداقل ارتفاع (M)	حداکثر ارتفاع (M)	میانگین ارتفاع (M)	تابع
دایره‌ای	۱۷۸۰	۲۹۲۰	۲۴۱۲/۴۰	T
شکاف دار	۲۲۶۰	۳۶۰۰	۳۰۶۰/۸۷	INTERSEC
کشیده	۲۲۴۰	۳۱۰۰	۲۷۱۶/۸۲	

<sup>۱</sup> Parasitic cones/ secondary cones

متغیر	۲۰۰	۳۶۸۰	۲۸۵۲/۰۶
-------	-----	------	---------

### ارتباط دهانه‌های آتشفسانی با سنگ‌شناسی

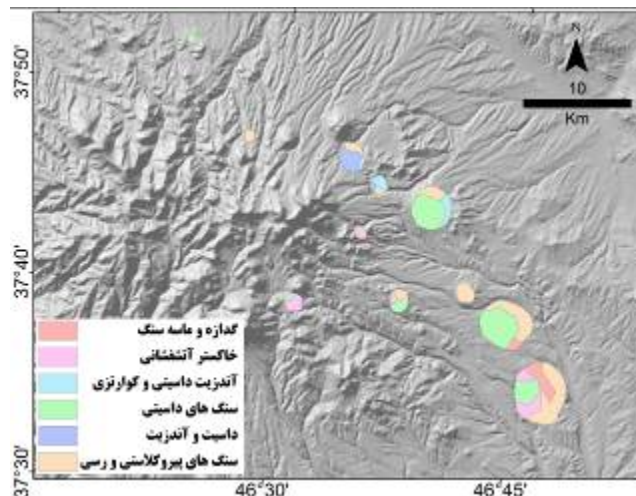
سهند در مجموع یک استراتوولکان محسوب می‌شود و اغلب شامل پیروکلاست، ایگنمبریت و گدازه‌هایی است که توسط دودکش‌های مختلف و پراکنده در سطح وسیعی بیرون ریخته است. سنگ‌های آتشفسانی سهند عبارتند از: آندزیت، آندزیت بازالتی، داسیت، داسیتوئید و لاتیت. قارمیش داغ و ترپاکلو، مرکز اصلی آتشفسانی سهند به شمار می‌رود. ایگنمبریت و گدازه‌های آندزیتی از این مرکز فوران کرده‌اند. چنین به نظر می‌رسد که در قارمیش داغ، پس از فوران ایگنمبریت، یک فرو نشینی (کالدر) به وقوع پیوسته، آنگاه در امتداد گسل‌های حلقوی، گدازه‌های داسیتی بیرون ریخته‌اند (امینی آذر و قدیرزاده، ۱۳۸۷: ۱۲).

در کل داسیت‌ها، در منطقه گسترش فراوانی داشته و خاصیت اسیدی ضعیفی دارند. جهت بررسی ارتباط بین سنگ‌شناسی و دهانه‌های موجود در کوهستان سهند، نقشه‌های زمین‌شناسی منطقه مورد بررسی قرار گرفت. پس از بررسی این نقشه‌ها، نوع سنگ‌شناسی مربوط به هر یک از دهانه‌ها مشخص و پس از انجام تحلیل‌ها در مدل بیلدر (مدل ساز تحلیلی)، مشخصات سنگ‌شناسی دهانه‌ها و مساحت هر یک از سازندوها مشخص شد (جدول ۲).

جدول ۲: ویژگی‌های سنگ‌شناسی و مورفومتریکی دهانه‌های دایره‌ای (محاسبات نگارندگان)

ردیف	توضیحات	مساحت ( $m^2$ )	درصد	تابع
۱	داسیتیک آندزیت و کوارتز آندزیت	۳۶۸	۶	INTERSECT
۲	جریان خاکستر و سنگ‌های آذر آواری وابسته، کنگلومرا، ماسه سنگ و شیل	۳۱۵	۵	
۳	سنگ‌های آتشفسانی داسیت تا آندزیت	۳۸۱	۶	
۴	جریان خاکستر و سنگ‌های وابسته	۷۹۱	۱۳	
۵	سنگ‌های داسیتی ساب ولکانو	۲۵۳۱	۴۲	
۶	آذر آواری‌ها و سنگ‌های رسی همراه با لایه‌های بقایای جانوری	۱۵۹۸	۲۷	

شکل شماره ۴، سنگ‌شناسی خاص دهانه‌های دایره‌ای را نشان می‌دهد. مساحت هر نوع از سنگ‌ها در این نوع دهانه به همراه درصد مربوطه در جدول ۲ نشان داده شده است. با توجه به جدول شماره ۲ بیشترین مساحت و به تبع آن ماکریمم درصد این نوع از دهانه‌ها، مربوط به سنگ‌های داسیتی ساب ولکانو با ۴۲ درصد، آذر آواری‌ها و سنگ‌های رسی همراه با لایه‌های بقایای جانوری ۲۷ درصد و کمترین مقدار مربوط به جریان خاکستر و سنگ‌های آذر آواری وابسته، کنگلومرا، ماسه سنگ و شیل با ۵ درصد می‌باشد.



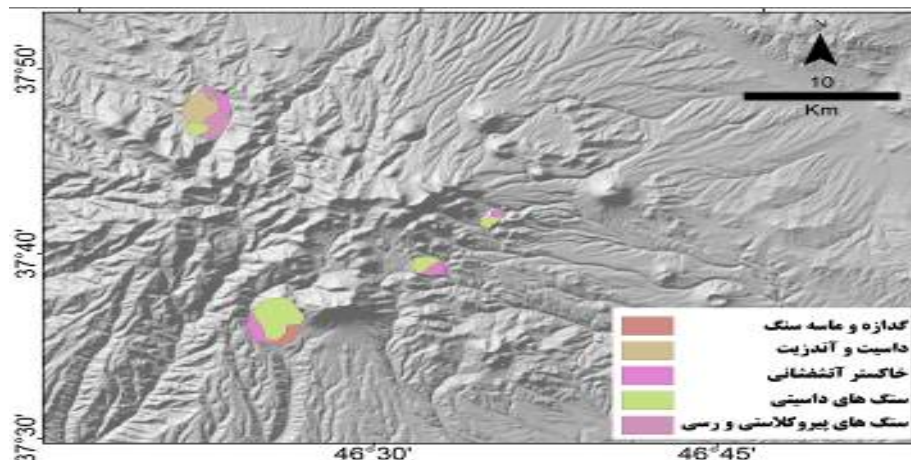
شکل ۴: توزیع فضایی دهانه‌های دایرها در شکل و سنگ‌شناسی آنها

جدول ۳ و شکل ۵ ویژگی‌ها ارتباط فضایی بین دهانه‌های کشیده و سنگ‌شناسی را نشان می‌دهد. بیشترین درصد سنگ‌شناسی در این نوع دهانه با ۴۵ درصد، مربوط به سنگ‌های داسیتی ساب ولکانو و کمترین آن مربوط به جریان خاکستر و سنگ‌های آذرآواری، کنگلومرا، ماسه سنگ و شیل است.

جدول ۳: ویژگی‌های سنگ‌شناسی و موروفومتریکی دهانه‌های کشیده (محاسبات نگارندگان)

ردیف	توضیحات	مساحت ( $m^2$ )	درصد	تابع
۱	جریان خاکستر و سنگ‌های آذرآواری وابسته، کنگلومرا، ماسه سنگ و شیل	۱۹۹	۷	
۲	سنگ‌های آتششانی داسیت تا آندزیت	۵۲۹	۱۷	
۳	جریان خاکستر و سنگ‌های وابسته	۸۵۵	۱۶	
۴	سنگ‌های داسیتی ساب ولکانو	۱۳۵۵	۴۵	INTERSECT
۵	آذرآواری‌ها و سنگ‌های رسی همراه با لایه‌های بقایای جانوری	۴۰۳	۱۳	

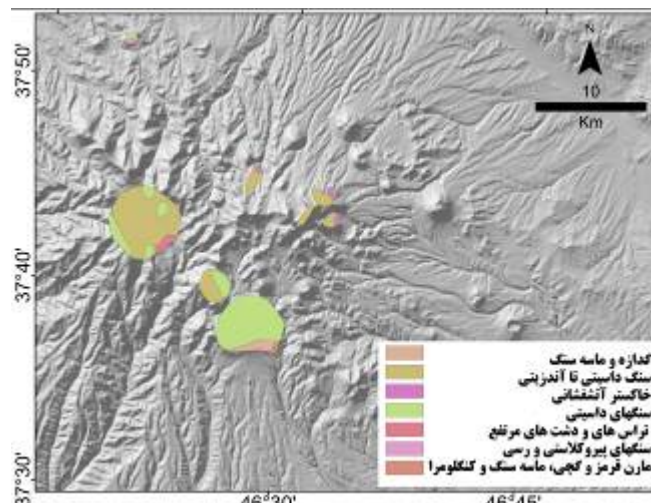
سنگ‌شناسی مربوط به سومین کلاس یعنی دهانه‌های شکافدار در شکل ۶ نشان داده شده است. همچنین در جدول شماره ۴، درصد هر کدام از سنگ‌های غالب نشان داده شده است. با توجه به این جدول، مشخص می‌شود که سنگ‌های آتششانی داسیت تا آندزیت با ۴۸ درصد بیشترین و سنگ‌های آذرآواری و رسی همراه با لایه‌های بقایای جانوری کمترین فراوانی را دارند.



شکل ۵: توزیع فضایی دهانه‌های کشیده و سگ‌شناشی آنها

جدول ۴: ویژگی‌های سنگ شناسی و مورفومتریکی دهانه‌های شکافدار (محاسبات نگارندگان)

ردیف	توضیحات	مساحت ( $m^2$ )	درصد	تابع
۱	جریان خاکستر و سنگ‌های آذر آواری وابسته، کنگلومرا، ماسه سنگ و شیل	۲۹۴	۴	
۲	سنگ‌های آتششناشی داسیت تا آندزیت	۳۵۴	۴۸	
۳	جریان خاکستر و سنگ‌های وابسته	۱۳۲	۲	
۴	سنگ‌های داسیتی ساب و لکانو	۳۱۶	۴۳	
۵	مخروط‌افکنه پایکوهی سطح بالا و نهشته‌های تراس دره‌ای	۱۵	۲۵	
۶	سنگ‌های آذراواری و رسی به همراه با لایه‌های بقاوی جانوری	۵	۱	
۷	مارن قرمز رنگ، مارن گچی، ماسه سنگ و کنگلومرا	۴۲	۱	INTERSECT

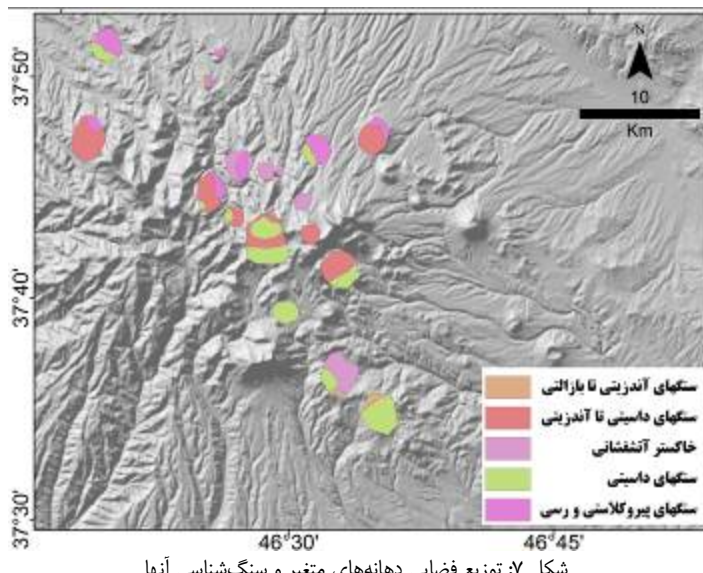


شکل ۶: توزیع فضایی دهانه‌های شکافدار و سگ‌شناشی آنها

آخرین گروه از انواع دهانه‌های موجود در کوهستان سهند، دهانه‌های متغیر است. جدول ۵ و شکل ۷ ویژگی‌های کلی این نوع از دهانه‌ها را نشان می‌دهد. این دهانه‌ها اغلب از سنگ‌های داسیت تا آندزیت (۳۴ درصد) و سنگ‌های داسیتی ساب و لکانو (۳۲ درصد) تشکیل شده‌اند. در این گروه سنگ‌های آندزیتی - بازالتی، کمترین میزان را به خود اختصاص داده است.

جدول ۵: ویژگی‌های سنگ‌شناسی و مورفومتریکی دهانه‌های متغیر (محاسبات نگارندگان)

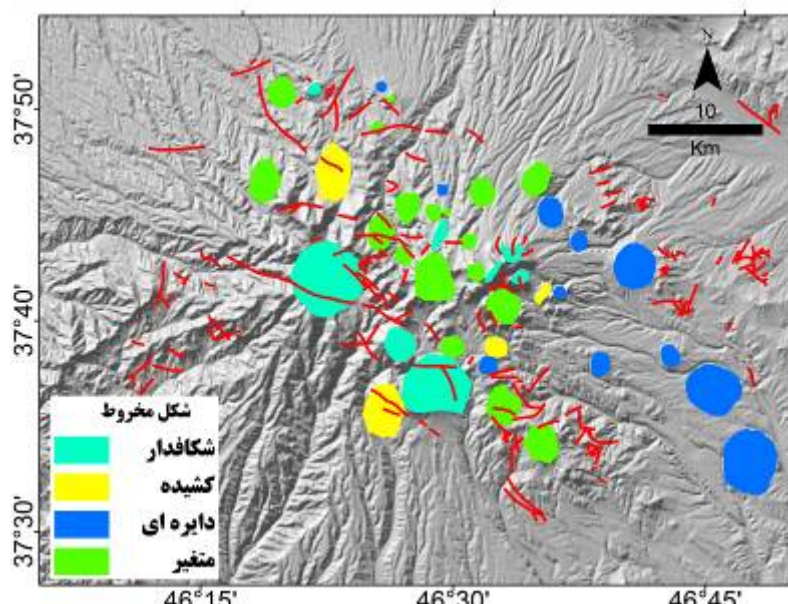
ردیف	توضیحات	مساحت ( $m^2$ )	درصد	تابع
۱	آندرزیت تا بازالت	۱۵۹	۲	
۲	سنگ‌های آتشفشاری داسیت تا آندزیت	۲۸۸۶	۳۴	
۳	جریان خاکستر و سنگ‌های واپسته	۱۳۱	۱۵	
۴	سنگ‌های داسیتی ساب ولکانو	۲۷۱۹	۳۲	
۵	آذر آواری‌ها و سنگ‌های رسی همراه با لایه‌های بقایای جانوری	۱۴۵۱	۱۷	INTERSECT



شکل ۷: توزیع فضایی دهانه‌های متغیر و سنگ‌شناسی آنها

### عملکرد تکتونیک در سهند

کوهستان سهند در دوره میوسن به صورت آنتی کلیناریوم (طاقدیسی بزرگ)، دچار چین خوردگی شده است. این تغییر شکل در رابطه با نیروهای تکتونیکی عظیمی بوده که این منطقه از آذربایجان نیز در ارتباط با آن تغییر شکل یافته است. این سیستم مربوط به چین خوردگی آلپی بوده است. استمرار نیروهای تکتونیکی بر روی طاقدیس بزرگ سهند باعث به وجود آمدن گسل‌های بزرگی شده که امتداد این گسل‌ها شمال غرب – جنوب شرق است که از امتداد گسل تبریز تبعیت می‌کنند. این گسل‌ها موجب راه‌یابی و هدایت مواد مذاب به سطح زمین شده است که در طول، به طرق گوناگون اشکال متنوعی را ایجاد نموده‌اند. البته از نظر نحوه پراکندگی دهانه‌های آتشفشاری، نظم مشخصی وجود ندارد. ولی به طور کلی امتداد این دهانه‌ها نیز از امتداد گسل‌های موجود در منطقه تبعیت می‌کند (شکل ۸).



شکل ۸: ارتباط فضایی گسل‌ها و انواع دهانه‌های آتشفسانی سهند

نتیجه تحلیل‌های انجام شده در مدل ساز تحلیلی در رابطه با نقشه دهانه‌های آتشفسانی منطقه و نقشه بافر ۲۰۰ متری گسل‌ها، در جدول شماره ۶ نشان داده شده است. با توجه به این جدول ارتباط دهانه‌ها، گسل‌ها و ریز گسل‌ها در منطقه حاصل می‌شود.

همان‌طور که مشاهده می‌شود دهانه‌های دایره‌ای کمترین تعداد گسل و دهانه‌های شکافدار بیشترین تعداد گسل را دارند. مورفولوژی دهانه‌هایی که از جابجایی گسل‌ها تأثیر کمتری گرفته‌اند، به شکل دایره است. به عبارتی هر چه گسل‌ها در موفوژنز دهانه‌ها کمتر دخالت داشته، دهانه شکل ایده‌آل تری به خود می‌گیرد. اما هرچه گسل‌ها در دهانه و حواشی آن بیشتر باشد، به همان نسبت شکل دهانه از حالت دایره‌ای فاصله می‌گیرد. البته نباید تأثیر سایر عوامل را در شکل دهانه‌ها نادیده گرفت.

جدول ۶: ارتباط دهانه‌ها با گسل‌ها (تحلیل‌های نگارندگان)

تابع	درصد	مساحت ( $m^2$ )	تعداد گسل در دهانه	نوع دهانه
INTERSEC T	.	.	.	دایره‌ای
	۴۹	۸۶۸	۴۲	شکافدار
	۱۷	۳۰۳	۵	کشیده
	۳۳	۵۸۱	۲۸	متغیر

### نتیجه‌گیری

بررسی ارتباط توپوگرافی و دهانه‌ها نشان داد که بیشترین ارتفاع میانگین ۳۰۶۰/۸۷ متر مربوط به دهانه‌های شکافدار و کمترین ارتفاع میانگین، ۲۴۱۲/۴۰ متر مربوط به دهانه‌های دایره‌ای است. ضمن اینکه توپوگرافی اغلب دهانه‌های سهند، جدا از شکل آن‌ها، تا حدی وابسته به نوع فواران این آتشفسانی می‌باشد. در واقع، به دلیل ارتفاع زیاد سهند، فشارهای زیادی برای بالا آمدن لاوا و رسیدن آن به دهانه قله لازم بوده است. به همین دلیل مواد مذاب (ماگما) آسان‌ترین و کوتاه‌ترین مسیر را انتخاب و در سطح پایین تری یعنی در دامنه‌های آتشفسان اصلی بیرون ریزی کرده است. در نهایت اینکه ارتفاع دهانه‌ها نمی‌تواند به تنها بر اینکه تعیین کننده نوع دهانه از لحاظ شکل باشد باشد.

سنگ‌شناسی غالب در دهانه‌ها در سهند بیشتر سنگ‌های آنژیت نا داسیت است و سایر سنگ‌ها با درصد متفاوت ظاهر شده‌اند. البته فقط تنها سنگ‌شناسی نمی‌تواند به تنها‌ی شکل دهانه‌ها را تعیین کند و عوامل دیگری نیز چون تکتونیک و گسل، فرسایش و قدمت دهانه و نوع فوران در طول زمان شکل نهایی دهانه را به وجود می‌آورد. با استفاده از داده‌ها و نرم افزارهای مختلف ابتدا دهانه‌ها کلاس بندی شد و بر اساس توپوگرافی، سنگ‌شناسی و فراوانی گسل‌ها بررسی گردید. نتایج نشان می‌دهد که گسل‌ها و فراوانی آن‌ها بر روی شکل دهانه‌ها تأثیر گذاشته است. نتایج حاصل از هم پوشانی لایه گسل‌ها و انواع دهانه‌ها از لحاظ شکل (شکل ۸)، این امر را اثبات می‌کند. با توجه به بررسی‌ها و تحلیل‌های صورت گرفته مشخص گردید که دهانه‌های دایره‌ای در مکان هایی تشکیل شده اند که هیچ‌گونه خط گسلی در آن وجود ندارد. با توجه به شکل ۸ و جدول ۶ مشاهده می‌شود که از ۱۱ دهانه دایره‌ای، هیچ‌کدام در محدوده گسل‌ها قرار ندارند. از طرف دیگر، با وجود همگنی تقریبی هر چهار نوع دهانه از لحاظ سنگ‌شناسی، می‌توان نتیجه گرفت که خطوط گسلی در به هم زدن شکل دهانه‌ها مؤثر واقع شده اند. طوری که هر جا تعداد گسل بیشتری داشته، شکل دهانه از حالت ایدآل دایره‌ای خارج شده و به اشکال مختلف در آمده است. با توجه به تحلیل‌های انجام یافته در مدل بیلدر، ارتباط بین گسل‌ها و شکل دهانه‌ها به دست آمد. به طوری که دهانه‌های دایره‌ای کمترین تعداد و کمترین مساحت را در بافر گسل دارا هستند. در نهایت این نتیجه حاصل می‌شود که مورفوولوژی و مورفومتری دهانه‌های آتشفسانی سهند علاوه بر تأثیر پذیرفتن از نوع فوران، از خطوط گسلی نیز تأثیر پذیرفتند. در ضمن می‌توان گفت که در مورفوولوژی دهانه‌های آتشفسانی سهند یک عامل به تنها‌ی نقش نداشته بلکه عوامل مختلف باشد و ضعفهای متفاوت تأثیر داشته اند.

## منابع و مأخذ

- امامی، محمد هاشم. (۱۳۷۹). *ماگماتیسم در ایران*، انتشارات سازمان زمین‌شناسی کشور، ص ۱۲۴.
- امینی آذر؛ قدیرزاده. (۱۳۸۷). *گزارش زمین‌شناسی ورقه هشتبرود*، سازمان زمین‌شناسی مرکز تبریز، ص ۳۴.
- آل کثیر، عبدالامیر (۱۳۷۴)، *پژوهش‌های ژئومورفولوژی و هیدرومورفولوژی دامنه شرقی سهند*، رساله کارشناسی ارشد، دانشگاه تبریز، ص ۵۶.
- پیرمحمدی، فرهاد؛ عامری، علی؛ جهانگیری، علی؛ چانگ هوا چن؛ کسکین، محمد. (۱۳۹۰). *بررسی منشاء و محیط زمین‌ساختی سنگ‌های آتشفسانی خاور سهند (جنوب خاور تبریز) با استفاده از شواهد ژئوشیمیایی*، مجله علوم زمین، سال بیست و یکم، شماره ۸۱، ص ۱۷۹-۱۹۰.
- جهانگیری، احمد؛ اشرفی، ناصر. (۱۳۸۴). *کانی‌شناسی و ژنز لایه‌های رسی واحدهای پیروکالاستیک شرق مجموعه آتشفسانی سهند* (جنوب استان آباد)، مجموعه مقالات بیست و پنجمین گردهمایی علوم زمین. مجموعه مقالات سیزدهمین همایش بلوژنیا و کانی‌شناسی ایران. دانشگاه شهید باهنر کرمان. ص ۱۲۳-۱۲۷.
- خیام، مقصود. (۱۳۶۹). *سهند آتشفسان پلیو- پلیستوسن و تحول مورفوولوژیکی آن در کواترنر*، مجله دانشکده ادبیات و علوم انسانی دانشگاه فردوسی مشهد، شماره اول و دوم، سال ۲۳، ص ۲۰۰-۲۱۶.
- رجبی، معصومه، مریم بیاتی خطیبی، (۱۳۹۰). *ژئومورفولوژی شمال غرب ایران*، انتشارات دانشگاه تبریز، چاپ اول، ص ۲۷۸.
- رسولی، علی اکبر. (۱۳۶۷). *بررسی ژئومورفولوژی دامنه شمال‌غربی سهند (حوضه آبریز اسکو)*، پایان‌نامه کارشناسی ارشد، دانشگاه تبریز، دانشکده ادبیات و علوم انسانی، ص ۱۰۵.
- علائی طالقانی، محمود، (۱۳۸۲)، *ژئومورفولوژی ایران*، انتشارات قوس، چاپ دوم، ص ۸۱.
- غیوری، ن. معین وزیری. (۱۳۸۱). *مطالعه چینه‌شناسی، پتروگرافی و ژئوشیمیایی افق‌های ایگنمبیتی سهند*، پایان‌نامه کارشناسی ارشد زمین‌شناسی گرایش پترولولوژی، دانشگاه تربیت معلم تهران، ص ۱۶۷.

وزیری، معین، امین سبجانی (۱۳۵۶)، سهند از نظر ولکانولوژی و لکانوسدیمانتولوژی، انتشارات دانشگاه تربیت معلم تهران، ص ۵۹.

- Allen, M., Jackson, J. & Walker, R., 2004, **Late Cenozoic reorganization of the Arabia-Eurasia collision and the comparison of short-term and Long-term deformation rates**, Tectonics, No 23, TC2008, PP1-17.
- Hasenaka, T., Carmichael, I., 1985, **the cinder cones of Michoacán-Guanajuato, central Mexico: their age, volume, distribution and magma discharge rate**. Journal of Volcanology and Geothermal Research No 25, PP 104–124.
- Hooper, D.M., 1995, **Computer-simulation models of scoria cone degradation in the Colima and Michoacan-Guanajuato volcanic fields, Mexico**. Geofísica Internacional, No 34, PP 321–340.
- Hooper, D.M., Sheridan, M.F., 1998, **Computer-simulation models of scoria cone degradation**. Journal of Volcanology and Geothermal Research, No 83, PP. 241–287.
- Inbar, M., Gilichinsky M, Melekestsev, I, Melnikov, D., Zaretskaya, N., 2011, **Morphometric and morphological development of Holocene cinder cones: A field and remote sensing study in the Tolbachik volcanic field, Kamchatka**. Journal of Volcanology and Geothermal Research, No 201 PP 301–311.
- Inbar, M., Risso, C., 2001, **A morphological and morphometric analysis of a high density cinder cone volcanic field Payun Matru, south-central Andes**, Argentina. Zeitschrift für Geomorphologie, No 45, PP 321–343.
- Keresztfuri, G, Németh, K., 2012, **Structural and morphometric irregularities of eroded Pliocene scoria cones at the Bakony–Balaton Highland Volcanic Field, Hungary**, Geomorphology, Volume 136, PP 45-58.
- Kervyn, M., Ernst, G.G.J., Carracedo, J.-C. Jacobs P., 2012, **Geomorphometric variability of “monogenetic” volcanic cones: Evidence from Mauna Kea, Lanzarote and experimental cones**, Geomorphology, Volume 136, PP 59-175.
- Keskin, M., Pearce, J. A., Mitchell, J. G., 1998, **Volcano-stratigraphy and geochemistry of collision-related volcanism on the Eezurum-Kars Plateau, northeastern Turkey**, Journal of Volcanology and Geothermal Research No 85, PP. 355-404.
- Martin, U., Németh, K., 2006, **How Strombolian is a “Strombolian” scoria cone? Some irregularities in scoria cone architecture from the Transmexican Volcanic Belt, near Volcán Ceboruco, (Mexico) and Al Haruj (Libya)**, Journal of Volcanology and Geothermal Research, Volume 155, (1–2), PP 104-118.
- Mazzarini, F., D'Orazio, M., 2003, **spatial distribution of cones and satellite-detected lineaments in the Pali Aike Volcanic Field (southernmost Patagonia): insights into the tectonic setting of a Neogene rift system**. Journal of Volcanology and Geothermal Research, No 125, PP 291-305.
- Moinvaziri, H. & Aminsohanni, I., 1978, **Volcanologic and Volcanosedimentological Study Of Sahand Mountain**. University of Tarbeyat Moallim, Tehran, PP 59

- Parrot, J.F., 2007, **Tri-dimensional Parameterization: An Automated Treatment To study The evolution Of Volcanic Cones.** Geomorphology No 3, PP 247–258.
- Porter, S.C., 1972, **Distribution, Morphology And Size Frequency of Cinder Cones On Mauna Kea Volcano, Hawaii.** Geological Society of America Bulletin No 83, PP 3607–3612.
- Stoklin, J., 1968, **Structural history and tectonics of Iran: a review.** Amer. Assoc, Petroleum Geology. No 52, PP 1229-1258.
- Thouret, J.C., 1999, **Volcanic Geomorphology-An Overview.** Earth Sciences Reviews, No 47, PP 95–131.
- Wood, C.A., 1980a, **Morphometric Evolution Of Cinder Cones.** Volcanology and Geothermal Research. No 7, PP 387–413.
- Wood, C.A., (1980b). **Morphometric Evolution Of Cinder Cones,** Volcanology and Geothermal Research, No 8, PP 137–160.